

doi: 10.3969/j.issn.0490-6756.2017.05.018

黄铜矿 $MgGeP_2$ 的几何结构， 弹性性质和热学性质的研究

董玉静，高延利

(信阳学院理工学院, 信阳 464000)

摘要：利用第一性原理的密度泛函方法对 $MgGeP_2$ 结构性质，弹性性质和热力学性质进行了系统的研究，得到了平衡态的晶格常数，能带带隙，弹性系数和其他相关的热力学参数。通过对结果进行理论分析发现： $MgGeP_2$ 在零压下属于直接带隙半导体，带隙值为 1.522 eV。而弹性性质计算说明 $MgGeP_2$ 是各向异性且具有良好塑性的材料。在 0~40 GPa 的压强和 0~800 K 温度范围内，利用准谐德拜模型理论计算了热膨胀系数，热容 C_V 和 C_p ，熵和德拜温度随压强和温度的变化趋势。

关键词： $MgGeP_2$ ；密度泛函理论；能带结构；弹性性质；热力学性质

中图分类号：O472 **文献标识码：**A **文章编号：**0490-6756(2017)05-1001-06

Study on the structural, elastic and thermal properties of chalcopyrite $MgGeP_2$

DONG Yu-Jing, GAO Yan-Li

(School of Science and Technology, Xinyang University, Xinyang 464000, China)

Abstract: The structural, elastic and thermal properties of $MgGeP_2$ crystal have been studied comprehensively with the first-principle method based on the density function theory. The equilibrium lattice constant, the energy gap, the elastic coefficient and other related thermal parameters of $MgGeP_2$ have been discussed in this paper. The results are analyzed theoretically and show that the compound of $MgGeP_2$ at zero-pressure is direct band-gap semiconductor and the value of energy gap is 1.522 eV. Furthermore, Calculation of elastic properties in this crystal indicates that the $MgGeP_2$ is an anisotropic and ductile material. In addition, the effects of temperature and pressure on the thermal properties such as Debye temperature, the thermal expansion coefficient and heat capacity C_V and C_p are also worked out by the quasi-harmonic Debye model in the range of 0~40 GPa and 0~800 K.

Keywords: $MgGeP_2$; DFT; Band structure; Elastic properties; Thermal properties

1 引言

三元黄铜矿半导体材料具有直接带隙，吸收系数和非线性光学系数较强等特点，在光伏方面有很好的应用前景，引起了人们广泛地关注和研

究^[1-10]。以 $MgGeP_2$ 为代表的三元(II-IV-V₂)黄铜矿材料被投入了大量的精力进行研究。早在 1984 年，Jaffe 等人^[1]研究报道了 $MgGeP_2$ 的结构参数和电子结构中的带隙值($E_g=2.1$ eV)；1993 年 Zunger^[11]也进行了相关研究。随着科学技术的

收稿日期：2017-03-30

基金项目：信阳学院大学生创新创业训练计划(CX20170050)

作者简介：董玉静(1984—)，女，讲师，主要从事半导体材料性能方面研究。

通讯作者：董玉静。E-mail: dongyujing-001@163.com

发展和理论方法的不断完善; 2012 年 Shaposhnikov^[7]用第一性原理给出了 II-IV-V₂ (II = Be, Mg, Zn, Cd; IV = Si, Ge, Sn; V = P, As) 晶体结构, 电子性质和光学性质, 并证明了 MgGeP₂ 是直接带隙半导体。利用第一性原理计算 MgYZ₂ (Y = Si, Ge; Z = N, P) 的电子和光学性质, 发现 MgGeP₂ 在很大的波长区域内都具有折射和双折射现象^[8,12,13], 验证了该材料在光子学, 光电学和光学方面都有很好的潜力。

虽然 MgGeP₂ 在电子性质方面研究较多, 但是高压和高温情况下的弹性性质和热学性质却鲜有报道。利用第一性原理计算和分析 MgGeP₂ 的电子性质, 弹性性质和热学性质对其在材料各方面的应用都有很好的指导意义。发展到现在, 第一性原理^[14-18]已经非常成熟, 被广泛应用到很多三元半导体材料的研究, 比如 ZnGeP₂^[19], Ag 基黄铜矿^[20]和 CuTlSe₂^[21]。本文主要利用第一性原理的密度泛函方法研究 MgGeP₂ 的晶体结构, 对弹性性质和热学性质进行了探讨, 为后续三元半导体材料的研究提供了参考。

2 计算方法

本文计算采用的是 CASTEP^[22,23]软件进行计算, 此模块是基于密度泛函方法的从头算量子力学程序。在计算过程中, 利用平面波赝势和超软赝势, 交换关联能采用广义梯度近似(GGA-PBE)^[23-27], 平面波截断能 E_{cut} 取为 550 eV。自洽场运算中, 自洽精度设为每个原子能量收敛至 5.0 ~ 6.0 eV, 作用在每个原子上的力不超过 0.01 eV, 内应力不大于 0.02 GPa。结构优化采用了 Broyden-Fletcher-Goldfarb-Shanno(BFGS) 算法, 布里渊区积分采用 $5 \times 5 \times 5$ 网格, 计算结果收敛。

3 结果和讨论

3.1 结构参数和能带

MgGeP₂ 属于体心四方晶系材料, 黄铜矿结构, 原胞中含有 8 个原子, 空间晶体结构群为 I₄2D (No: 122)。除此之外, 根据资料显示还有三种衍生晶体结构, 分别是: NaCl 石盐(B1)结构, 空间群为 Fm₃m (No: 255); 四方晶体结构, 空间群为 P4/mmm (No: 123)^[13]; 立方体闪锌矿结构, 空间群为 F43m (No: 216)^[28]。在这些结构中黄铜矿结构是最稳定, 所以以黄铜矿结构进行优化并研究其相关性质, 结构如图(1)所示, 其原子的坐

标位置分别为: Mg (0.0, 0.0, 0.0), Ge (0.0, 0.0, 0.5), X (u , 0.25, 0.125)。其中 u 为内部结构参数, $u = 0.25 + (R_{\text{Mg-P}} - R_{\text{Ge-P}})/a^2$, 式中, $R_{\text{Mg-P}}$ 为 Mg 原子与 P 原子间的键长, nm; $R_{\text{Ge-P}}$ 为 Ge 原子与 P 原子间的键长, nm。

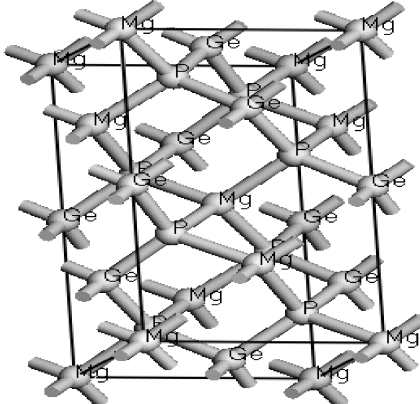


图 1 黄铜矿 MgGeP₂ 的晶体结构

Fig. 1 Crystal structure of MgGeP₂ compounds in chalcopyrite phase

为了确定 MgGeP₂ 基态结构参数, 首先利用 Murnaghan 状态方程^[29](EOS)对不同体积下的总能量进行优化, 从而得到原胞能量的最小值所对应的体积。优化后的参数和键长列于表 1。从表中可以看出, 此次计算得到的结果与实验值, 以及其他理论计算结果符合很好。该结果表明这种方法得到结果的正确性并为后续研究弹性性质、热学性质提供了很好的基础数据。利用 GGA 方法计算 MgGeP₂ 结构能带带隙值如表 2 所示, 带隙值为 1.522 eV。通过对比不同方法得到的带隙值发现, 利用 PLS 方法得到的带隙值最大, 而采用 GGA, EV 和 FP-LAPW 三种方法得到的结果比较接近。

表 1 不同方法下 MgGeP₂ 的晶格参数, 键长, 带隙的实验值与理论值

Tab. 1 The theoretical and experimental data of lattice constants, bond length, energy-gap of MgGeP₂ under different methods

	This work	Other theoretical calculations			
$a(\text{\AA})$	5.748	5.652 ^a	5.656 ^b	5.779 ^c	5.787 ^d
$c(\text{\AA})$	10.887	10.115 ^a	107.712 ^b	10.607 ^c	10.740 ^d
u	0.278	0.30 ^a	0.277 ^b	0.279 ^c	0.278 ^d
$d(\text{Mg,p})$	2.544	2.539 ^c	2.546 ^d		
$d(\text{Ge,p})$	2.355	2.340 ^c	2.355 ^d		
$E_g(\text{eV})$	1.522	1.5 ^f	1.6 ^g	3.0099 ^h	2.1 ⁱ
	1.39 ^a				

^a FP-LAPW Ref. [8], ^b Ref. [11], ^c GGA-AM05 Ref. [13], ^d GGA Ref. [7], ^e GW Ref. [30], ^f GGA Ref. [12], ^g EV Ref. [12], ^h (PLS) Ref. [31], ⁱ Ref. [1]

3.2 弹性性质

材料的弹性性质不仅联系了力学性质和热学性质, 还提供了晶体对外应力反应的重要信息, 能够体现材料抵抗外力变形的能力。在晶体弹性变形范围内, 施加应变可以计算得到与之相对应的应力, 然后根据广义胡克定律中应力与应变的关系(Stress-Strain)求得弹性常数。利用GGA-PBE方法和Birch-Murnaghan(EOS)状态方程拟合出泊松比 ν , 弹性常数 C_{ij} , 体积模量 B 和它的一阶导数 B' , 并与其它文献中的值进行比较(见表2)。 MgGeP_2 黄铜矿结构中有 C_{11} , C_{12} , C_{13} , C_{33} , C_{44} 和 C_{66} 六个独立的弹性常数。要使 MgGeP_2 获得力学稳定性必须满足以下准则^[32-35]: $C_{11} > 0$, $C_{33} > 0$, $C_{44} > 0$, $C_{66} > 0$, $(C_{11} - C_{12}) > 0$, $(C_{11}C_{33} - C_{13}^2) > 0$ 和 $[(C_{11} + C_{12})C_{33} - 2C_{13}^2] > 0$ 。由力学稳定准则验证, MgGeP_2 四方晶体符合稳定条件, 结构可以稳定存在。由表2中的结果可以发现, 在两种不同基矢下计算的结果与其它理论值^[13]符合很好。一般说来, 对于四方晶系材料, 通过弹性常数 C_{ij} 可以用来确定沿 a -轴和 c -轴的线性压缩系数, 公式可以表示为^[31]:

$$\chi_a = -\frac{1}{a} \frac{\partial a}{\partial p} \Big|_{p=0} = \frac{C_{33} - C_{13}}{C_{33}(C_{11} + C_{12}) - 2C_{13}^2} = 3.43 \text{ TPa}^{-1} \quad (1)$$

$$\chi_c = -\frac{1}{c} \frac{\partial c}{\partial p} \Big|_{p=0} = \frac{C_{11} + C_{12} - 2C_{13}}{C_{33}(C_{11} + C_{12}) - 2C_{13}^2} = 6.16 \text{ TPa}^{-1} \quad (2)$$

$$\chi = -\frac{1}{V} \frac{\partial V}{\partial p} \Big|_{p=0} = 2\chi_a + \chi_c = 13.02 \text{ TPa}^{-1} \quad (3)$$

表 2 MgGeP_2 的弹性常数 C_{ij} (GPa), 泊松比 ν , 体积模量 B (GPa) 体积模量一阶导数 B' 计算值和其他理论值。

Tab. 2 Calculated elastic constants C_{ij} (GPa), poisson ratio ν , bulk modulus B (GPa) and its first derivative B' of MgGeP_2 compared to the theoretical data.

	This work	Other theoretical calculations ^a
C_{11}	110.532	104.171
C_{12}	62.768	50.432
C_{13}	65.863	56.555
C_{33}	89.033	78.615
C_{44}	42.514	36.122
C_{66}	37.410	42.104
B	64.52 ^b 76.820 ^c 78.689 ^d	67.74
B'	4.308	
ν	0.393 ^b	0.313

^a GGA-AM05 方法 Ref. [13], ^b Birch - Murnaghan 状态方程拟合, ^c GGA-PBE 方法, ^d $B = (C_{11} + 2C_{12})/3$ 方程。

此外, 值得注意的是由GGA-PBE方法得到

的体积模量值($B = 76.82 \text{ GPa}$)与通过弹性常数计算得到的结果($B = \chi^{-1} = 76.8 \text{ GPa}$)非常一致, 这就充分证明了六个弹性常数 C_{ij} 计算精度是比较高的。在对线性压缩常数对比发现, a 轴线性压缩系数 χ_a 小于 c 轴线性压缩系数 χ_c 。利用Voigt - Reuss - Hill对 C_{ij} 算术平均的方法^[36]计算得到:

$$B_H = \frac{B_V + B_R}{2} = 77.248 \text{ GPa}; \\ G_H = \frac{G_V + G_R}{2} = 20.252 \text{ GPa} \quad (4)$$

其中, 下角标V和R表示Voigt和Reuss模量的平均值。同时, 杨氏模量 E_H 和泊松比 ν 可通过 B_H 和 G_H 由以下关系得到:

$$E_H = \frac{9B_H G_H}{3B_H + G_H} = 55.873 \text{ GPa}; \\ \nu = \frac{3B_H - 2G_H}{6B_H + 2G_H} = 0.452 \quad (5)$$

杨氏模量可以用来表征材料的刚度, 计算值越大, 刚度越大。 MgGeP_2 的弹性模量计算值只有55.873 GPa, 说明其刚度较小。而泊松比 ν 可以用来评估晶体材料的抗剪切稳定性, 得到的值越大, 材料的塑性越好。 MgGeP_2 的泊松比 ν 为0.452, 比铅(0.42)还要大, 可见其塑性较好。 B_H/G_H 的比值可以用来判断材料的延展性和脆性, 当 $B_H/G_H > 1.75$ 且 $\nu > 0.26$ 时, 材料延展性较好, 反之则为脆性^[34,37]。由计算结果可以看出, MgGeP_2 的 B_H/G_H 比值远大于1.75, 以此可以说明此半导体具有良好的延展性。在其他Mg基半导体如 MgSiP_2 , MgSiAs_2 , MgSiSb_2 ^[4]中也有相同的性质。而Zener各向异性指数可以用 $A = 2C_{44}/(C_{11} - C_{12})$ ^[37]来计算得到, 当 $A = 1$ 材料变现为各向同性; 反之则是各向异性, MgGeP_2 的指数 $A = 1.78 > 1$, 说明具有高度的各向异性。

图2(a)展示了零压下体弹模量随温度的变化关系。他们的关系可以通过方程^[32]表达出来:

$$B_T(p, T) = -V \left(\frac{\partial p}{\partial T} \right)_T = \\ V \left(\frac{\partial^2 G^*(V; p, T)}{\partial V^2} \right)_{p, T} \quad (6)$$

其中, G^* 是吉布斯函数, V 表示体积。根据图2(a)可以看出在0~100 K的范围内, 体弹模量 B 近似为常数, 当 $T > 100 \text{ K}$ 时, 零压下随温度的增加而降低。利用origin 8.0软件, 对 $B-T$ 的变化关系拟合得到了三次多项式为: $B = 64.29258 - 2.51 \times 10^{-3} T - 3.67389 \times 10^{-6} T^2 + 2.45958 \times 10^{-9} T^3$ 。

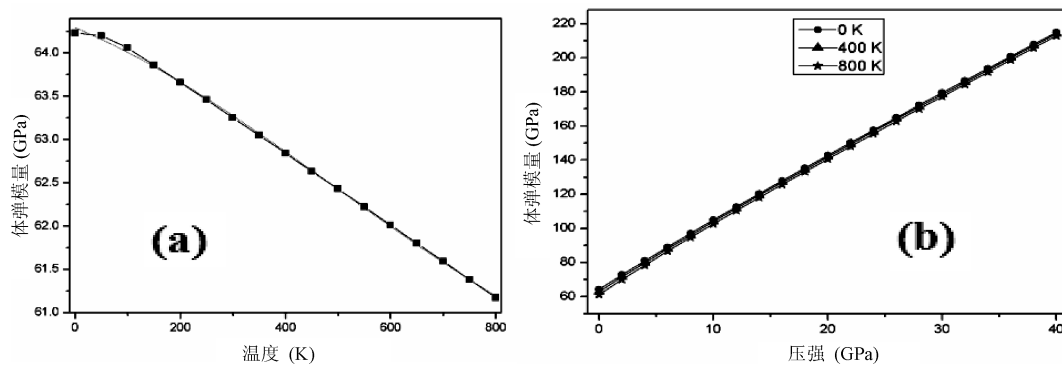


图 2 体弹模量随温度(a)和压强(b)的变化

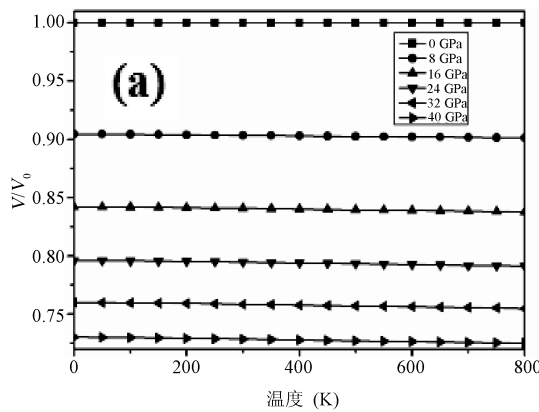
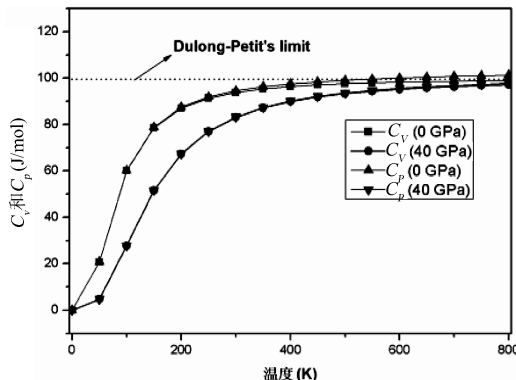
Fig. 2 The bulk modulus versus temperature (a) and pressure (b)

在 $T=0, 400, 800$ K 温度下体弹模量与压强的关系如图 2(b)所示。由此可以看出，随着压强的升高，相同的温度下体弹模量近乎为直线。压强的增加和温度的降低对材料的影响很相似，因为温度的变化会影响材料的硬度。

3.3 热学性质

利用准谐德拜模型研究了在 $0\sim40$ GPa 压强

和 $0\sim800$ K 温度范围内 MgGeP_2 的热学性质。图 3 显示了体积比 V/V_0 随温度和压强的变化关系，在不同的压强下，体积比 V/V_0 随温度升高而降低，变化比较缓慢。但是在不同的温度下却随压强的增加几乎成线性降低，由此可以看出压强对体积比 V/V_0 的影响要比温度大。

图 3 MgGeP_2 不同温度和不同压强下体积比 V/V_0 的变化曲线Fig. 3 Variations of the ratio V/V_0-T (a) and V/V_0-p (b) of MgGeP_2 图 4 不同压强下 MgGeP_2 的热容随温度的变化曲线Fig. 4 Heat capacity of MgGeP_2 versus temperature under different pressures

热容是研究材料振动性质和其他方面应用的一个非常重要的常数。 MgGeP_2 的定压热容(C_p)和定容热容(C_v)在 0 和 40 GPa 随温度的变化关系在图 4 中显示。其中定容热容(C_v)可以表示为^[38]：

$$C_v = 3nk \left[4D\left(\frac{\theta}{T}\right) - \frac{3\theta T}{e^{\frac{\theta}{T}} - 1} \right] \quad (7)$$

其中， n 是单位体积内的原子数， $D(\theta/T)$ 是德拜积分。从图中可以看出，随着温度的升高热容增加。定压热容(C_p)和定容热容(C_v)在低温范围($T < 400$ K)都与 T^3 成比例，而随着温度的升高逐渐趋近于杜隆-伯蒂近似(Dulong-Petit's limit)，这和其他所有固体材料具有相同的性质。这个结

果表明, 离子之间的相互作用对纳米复合材料的热容有很大的影响, 尤其在低温范围内。在低温范围内, 定容热容(C_V)的变化依赖于压强和温度的变化, 遵循德拜模型的准谐近似, 非谐效应的影响较小;但是在高温范围内, 非谐效应则起主导作用, 使定容热容(C_V)逐渐趋近于一个近似值为 $97.17 \text{ J} \cdot \text{mol}^{-1} \cdot \text{K}^{-1}$ 。

$MgGeP_2$ 的热膨胀系数 $\alpha(10^{-5}/\text{K})$, 熵 S 和德拜温度 θ_D 随温度和压强的变化曲线如图 5 所示。从图(a)中发现在零压和低温($T < 200 \text{ K}$)下, 热膨胀系数 α

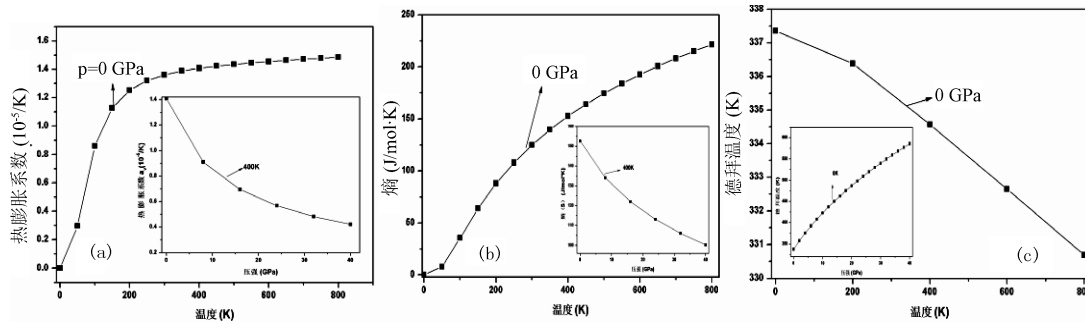


图 5 热膨胀系数(a), 熵(b)和德拜温度(c)随压强和温度的变化曲线

Fig. 5 Thermal expansion coefficient (a) entropy (b) and the Debye temperature (c) versus temperature and pressure

4 结 论

基于对 $MgGeP_2$ 黄铜矿结构材料弹性和热力学性质研究的缺乏, 利用密度泛函方法和准谐德拜模型对基本参数进行了研究和对比。计算得到了晶格参数(a, c), 能带带隙(E_g), 弹性常数(C_{ij}), 体弹性模量(B)及对应的一阶导数(B'), 热容和熵。将结果与实验值进行了对比和讨论, 得到以下结论: (1)由能带结构和总态密度图发现, $MgGeP_2$ 黄铜矿结构材料是直接带隙半导体材料, 带隙值为 1.522 eV 。(2) Zener 各向异性指数 A 和 B_H/G_H 显示 $MgGeP_2$ 材料是各向异性的, 且具有良好的塑性。(3)热膨胀系数, 德拜温度和热容随温度和压强的变化关系也第一次进行了计算。结果表明: 在给定的温度下, 热容随压强的增加而降低;而在相同的压强下, 随温度的升高而增大。此外, 热膨胀系数在低于 200 K 的温度范围内, 随温度增加呈指数关系增加; 此后在高温范围内, 逐渐趋于稳定的值。

参考文献:

- [1] Jaffe J E, Zunger A. Theory of the band-gap anomaly in ABC_2 chalcopyrite semiconductors [J]. Phys Rev B, 1984, 29: 1882.
- [2] Erwin S C, Zutic I. Tailoring ferromagnetic chalcophytes [J]. Nat Mater, 2004, 3: 410.
- [3] Paudel T R, Lambrecht W R L. First-principles study of phonons and related ground-state properties and spectra in $Zn-IV-N_2$, compounds [J]. Phys Rev B, 2008, 78: 115204.
- [4] Shi L W, Hu J, Qin Y, et al. First-principles study of structural, elastic and lattice dynamical properties of chalcopyrite $BeSiV_2$, and $MgSiV_2$, ($V = P, As, Sb$) [J]. J Alloys Compd, 2014, 611: 210.
- [5] Hu J, Shi L W, Qin Y, et al. Phase transitions, band structures, elastic and lattice dynamic properties of $Cd-SnV_2$ ($V=P, As, Sb$) under pressure from first principles [J]. Mater Sci Semicond Process, 2015, 35: 149.
- [6] Ouahrani T. Chemical and physical insight on the local properties of the phosphides $XSiP_2$ ($X = Be, Mg, Cd, Zn$ and Hg) under pressure: from first principles calculations [J]. Eur Phys J B, 2013, 86: 1.
- [7] Shaposhnikov V L, Kriosheeva A V, Borisenko V E, et al. Ab initio modeling of the structural, electronic, and optical properties of $A_{II}B_{IV}C_{2V}$ semiconductors [J]. Phys Rev B, 2012, 16: 303.
- [8] Chiker F, Kebab Z, Miloua R, et al. Birefringence of optically uni-axial ternary semiconductors [J]. Solid State Commun, 2011, 151: 1568.

随温度升高成指数关系上升。在温度高于 200 K 时, 逐渐趋于一个稳定的变化关系, 图(a)中的小图表示在 400 K 时热膨胀系数随温度的变化关系, 通过对比发现温度的影响要大于压强。而图(b)则给出了熵在 0 GPa 压强下随温度的变化和在 400 K 下随压强的变化, 且变化趋势相反。固体的德拜温度 θ_D 决定了热容, 熔点和热振动频率的大小, 其作为压强和温度的变化关系曲线在图(c)中已显示。由此可以看出, 随着压强的增加德拜温度 θ_D 升高, 而随着温度的升高出现缓慢降低的趋势, 最后趋近于 337.35 K 。

- [9] Kumar V, Jha V, Sinha A. Linear properties of ternary chalcopyrite semiconductors [J]. Indian J Phys, 2015, 89: 233.
- [10] Zhang Z C, Peng R W, Chen N Y. Artificial neural network prediction of the band gap and melting point of binary and ternary compound semiconductors [J]. Mater Sci Eng B, 1998, 54: 149.
- [11] Zunger A, Wagner S, Petroff P M. New materials and structures for photovoltaics [J]. J Electron Mater, 1993, 22: 3.
- [12] Sibghat U, Murtaza G, Khenata R, et al. Electronic, optical and bonding properties of $MgYZ_2$ ($Y=Si, Ge; Z=N, P$) chalcopyrites from first principles [J]. Mater Sci Semicond Process, 2014, 26: 79.
- [13] Kocak B, Ciftci Y O. Ab-initio calculations of semiconductor $MgGeP_2$ and $MgGeAs_2$ [J]. Mater Res Bull, 2016, 77: 300.
- [14] 杨坤, 张春, 张吉东. CrN 弹性和热力学性质的第一性原理研究 [J]. 四川大学学报: 自然科学版, 2016, 53: 835.
- [15] 詹国富, 陈芳琴, 朱俊, 等. 二氧化铂高压结构相变, 弹性和热力学性质的第一性原理计算 [J]. 四川大学学报: 自然科学版, 2016, 53: 1290.
- [16] 张春红, 张忠政, 邓永荣, 等. 稀土(Sc, Y, La)掺杂 CdS 光电性质的第一性原理研究 [J]. 四川大学学报: 自然科学版, 2017, 54: 108.
- [17] 王青, 王帅, 戴剑锋, 等. 同主族 Si/C 共掺杂 TiO_2 可见光区光催化性能的第一性原理研究 [J]. 四川大学学报: 自然科学版, 2017, 54: 135.
- [18] 罗丽霞, 王永. 氮化钒热力学性质第一性原理研究 [J]. 四川大学学报: 自然科学版, 2015, 52: 353.
- [19] Wei L, Zhang G D, Fan W L, et al. Anisotropic thermal anharmonicity of $CdSiP_2$ and $ZnGeP_2$: ab initio calculations [J]. J App Phys, 2013, 114: 233501.
- [20] Sharma S, Verma A S, Bhandari R, et al. Ab initio studies of structural, electronic, optical, elastic and thermal properties of Ag-chalcopyrites ($AgAlX_2: X = S, Se$) [J]. Mater Sci Semicond Process, 2014, 26: 187.
- [21] Dong Y J, Gao Y L. Density function theory of elastic and thermal properties for $CuTlSe_2$ crystal [J]. Chalcogenide Lett, 2016, 13: 515.
- [22] Clark S J, Segall M D, Pickard C J, et al. First principles methods using CASTEP [J]. Z Kristallogra, 2005, 220: 567.
- [23] Payne M C, Teer M P, Aaalin D C, et al. Iterative minimization techniques for ab initio total-energy calculations: molecular dynamics and conjugate gradients [J]. Rev Mod Phys, 1992, 64: 1045.
- [24] Perdew J P, Bueke K, Ernzerhof M. Generalized gradient approximation made simple [J]. Phys Rev Lett, 1996, 77: 3865.
- [25] 郭雷, 胡舸, 冯文江, 等. 闪锌矿 MTe ($M=Zn/Mg$) 的几何结构、弹性性质、电子结构和光学性质 [J]. 物理化学学报, 2013, 29: 929.
- [26] 袁俊辉, 高博, 汪文, 等. Y-Cu 共掺杂 ZnO 电子结构与光学性质的第一性原理计算 [J]. 物理化学学报, 2015, 21: 1302.
- [27] Stampel C, Van de Walle C G. Density-functional calculations for III-V nitrides using the local-density approximation and the generalized gradient approximation [J]. Phys Rev B: Condens Matt, 1999, 59: 5521.
- [28] Folbeth O G, Pfister H. Neue ternäre halbleitende phosphide $MgGeP_2$, $CuSi_2P_3$ und $CuGe_2P_3$ [J]. Acta Crystallographica, 1961, 14: 325.
- [29] Murnaghan F D. The compressibility of media under extreme pressures [J]. Proc Natl Acad Sci USA, 1944, 30: 244.
- [30] Schilfgarde M V, Newman N, Pesek T J, et al. Mg-IV-V chalcopyrites in thin film tandem photovoltaic cells [C] //Photo Spec Confer IEEE, 2009: 001297.
- [31] Suh C, Rajan K. Combinatorial design of semiconductor chemistry for bandgap engineering: "virtual" combinatorial experimentation [J]. Appl Surf Sci, 2004, 223: 148.
- [32] Born M, Huang K, Lax M. Dynamical theory of crystal lattices [J]. Am J Phys, 1954, 39: 113.
- [33] Yip S, Li J, Tang M J, et al. Mechanistic aspects and atomic-level consequences of elastic instabilities in homogeneous crystals [J]. Mater Sci Eng A, 2001, 317: 236.
- [34] 夏庆林, 易健宏, 彭元东, 等. C 掺杂 $Mg(B_{1-x}C_x)_2$ 的电子结构和弹性性质的第一性原理研究 [J]. 粉末冶金材料科学与工程, 2011, 16: 7.
- [35] Wang J H, Yip S, Phillipot S R, et al. Crystal instabilities at finite strain [J]. Phys Rev Lett, 1993, 71: 4182.
- [36] Pugh S F X. Relations between the elastic moduli and the plastic properties of polycrystalline pure metals [J]. Philos Mag, 1954, 45: 823.
- [37] Ranganathan S I, Ostoja-starzewski M. Universal elastic anisotropy index [J]. Phys Rev Lett, 2008, 101: 055504.
- [38] Hill R. The elastic behaviour of a crystalline aggregate [J]. Proc Phys Soc, 1952, 65: 349.